

移動繰返し荷重を受ける鉄筋コンクリート床版の疲労耐力

大阪市立大学 学生員。上平 謙二
大阪市立大学 正員 園田憲一郎

1. まえがき

繰返し荷重が作用するスラブの強度の系統的な研究は、はりに対する研究に比べて非常に少なく、道路橋床版を対象とした研究すなむち、移動繰返し荷重を受けるRC床版の疲労特性の研究は極めて少ない。

本研究は、静的には曲げあるいは押抜きせん断型の破壊をするRCスラブ供試体20枚について、移動繰返し及び一点繰返し載荷実験を行ない、それらの疲労性状について比較・検討したものである。

2. 供試体及び実験方法

本研究に用いた版供試体はI及びIIの2種類からなる。その各々の主な諸元を表-1に示す。平行な鋼主桁で支えられた

表-1 版供試体の諸元

帯状の実橋床版を研究対象とし、これらの中の供試体の寸法は実橋床版の約 $1/3$ に選び、辺長比は1:3

にとり、四辺を単純支持とし、四隅の湾き上がりを拘束した。

載荷条件は実験目的に応じてA～Dの4種類とした。すなむち、実験Aはスラブの静的曲げ及び押抜きせん断強度を調べるもので、I及びII種がこれに属する。載荷には手動式油圧ジャッキを用い、載荷面積は示方書の後輪荷重面に相当する $17\text{cm} \times 7\text{cm}$ の矩形を用いた。実験における測定項目は鉄筋ひずみ及びたわみである。

実験B及びCは疲労強度に対する輪荷重の移動の影響を調べるもので、実験Bは走行車線を版中央線上のみとした場合で、実験Cは走行車線を三方向に変化させた場合である。これらの概要を図-1に示す。ここで用いた荷重レベルすなむち上限荷重/静的強度比Rはほぼ50, 55, 60, 65, 70, 80及び85%とし、載荷には電気式手動反復油圧ジャッキを用い、1サイクル(12点載荷)を約1分の速度で繰返しを行なった。載荷面積は実験Aと同様であり、測定項目は鉄筋ひずみ及びたわみである。

実験Dは輪荷重を一点に固定した場合での疲労強度を調べたもので、荷重レベル、載荷面積、及び測定項目は実験B及びCと同様である。なお、載荷にはサーボパルサ型疲労試験機を用い、荷重の波形は3～4.5HzのSine波とし、各載荷重の下限値はそれぞれ最大荷重値の20の値とした。

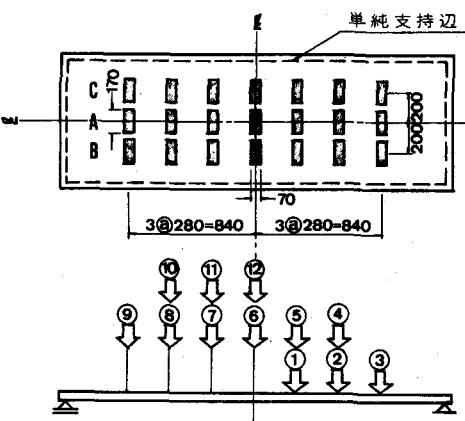


図-1 移動繰返し載荷順序

使用したコンクリートはすべて水セメント比 50 %, 細骨材率 47 %, 単位セメント量 370 kg/cm², スランプ 10.0 ~ 12.0 cm, 粗骨材の最大寸法 25 mm でセメントは中庸熟ボルトランデヒメントを使用し, 平均圧縮強度は約 290 kg/cm² である。鉄筋はすべて Ø 6 の熱間圧延棒鋼を使用し, その降伏応力の平均値は 2600 kg/cm² である。また, 20 枚の供試体はすべて同時期に製作した。

3. 実験結果及び考察

1) 床版の静的曲げ耐力としては, 図-2 に示すメカニズムによる降伏線理論を用い, 曲の実線は工種のスラブで破線はⅡ種のスラブである。実験において破壊荷重はいずれも過大な塑性変形によつて達せられ, ほぼ目標通りのメカニズムが得られた。そして実験値と理論値は非常に高い一致を示した。表-2 はそれらの値を示す。

2) 床版の静的押抜きせん断耐力としては, 角田氏の耐力算定式を使用した。その結果, 実験値と算定値は比較的良好な一致を示した。表-3 はそれらの値を示す。

3) ひび割れ伝播の観察

実験では, 初期の載荷下面には載荷点を中心とする放射状のひび割れが生じ, ひび割れ伝播は比較的ゆくりしていた。そして版上面にも円弧状あるいは楕円状のひび割れが生じ, その後の繰返しと共にひび割れパターンは主モーメント線図に沿って発展し, ある程度ひび割れが完成するとそれ以後の進展は殆んど見られず, ひび割れ幅が次第に大きくなるに留まった。

一方, 実験 B 及び C では, ひび割れは初期の移動繰返し載荷においては各載荷点ごとに載荷点を中心とする放射状に発生したが, その後の移動繰返しに伴つてほぼ格子状に形成され停滯状態となつた。また, 版上面にも版全体に円弧状あるいは楕円状にひび割れが生じ, 疲労進むにつれて版上面にコンクリートの圧壊によると思われるひび割れが生じた。なお, 実験 C における版下面のひび割れパターンは, 実橋床版のそれと比較的良好く類似していた。

4) 鉄筋応力特性

実験 B, C 及び D で比較的荷重レベルの高い場合には, 載荷面下の主鉄筋のひずみは1回目の載荷でほぼ降伏ひずみに達し, 荷重の繰返しによりそれを越えているが特に不安定な性状は見られなかつた。一方, 荷重レベルの低い場合には主鉄筋のひずみの増加は殆んど見られず, 配力鉄筋のひずみは荷重の繰返しと共に減少した。これはひび割れの進展につれて異方性効果が現われたものと考えられ, 一点繰返し載荷のそれよりも移動繰返し載荷に顕著に現われた。なお, 比較的荷重レベルの低い場合の主鉄筋, 配力鉄筋のひずみは共にすべて降伏に至らなかつた。図-3 は鉄筋ひずみの観測結果の一例を示す。

図-2 破壊メカニズム

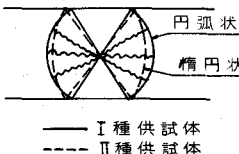


表-2 実験と理論による破壊荷重の比較

種別	P _{max} ^(t)	P _{YL} ^(t)	P _{max} /P _{YL}
I	6.5	6.30	1.03
II	6.2	5.67	1.09

(注) P_{max}: 実験値
P_{YL}: 理論値

表-3 実験値と算定値との比較

種別	P _{max} ^(t)	P _K ^(t)	P _{max} /P _K
I	6.20	6.39	0.97
II	5.80	5.67	1.02

(注) P_{max}: 実験値
P_K: 算定値

5) たわみ特性

実験B及びCではたわみの進展は比較的スムーズであるが、版上面にコンクリートの圧壊によると思われるひび割れ発生後はその進展は速やかだ。一方、実験Dではたわみの進展は殆んど見られず、破壊の寸前に急変した。なお、上面ひび割れ（円弧状あるいは梢円状）は版厚の1/20前後すなわち、全断面有効の場合の弾性たわみの2.5倍前後に生じ、コンクリートの圧壊によるとと思われるひび割れは版厚のほぼ1/3前後に生じた。図-4はたわみの観測結果の一例を示す。

6) 疲労破壊状態

実験B及びCの場合の疲労破壊は曲げの先行を伴い、押抜きせん断型で、実験Dの場合には載荷点を中心とした押抜きせん断型となり、荷重直下のコンクリートがピラミッド状に押抜けることによって破壊した。なお、どの供試体も鉄筋の破断を伴わなかつた。

7) 疲労強度

実験B、C及びDにおいて得られた結果からそれらの荷重レベルと破壊時の全回数の関係を描けば図-5に示す通りとなる。また、両者の比較検討のために移動線返し全回数と一点線返し回数の関係を描けば図-6に示す通りとなり、移動線返し載荷実験を及びCの場合には配力鉄筋の影響が顕著

に現められたが、一点線返し載荷実験Dのそれはあまり現われなかつた。また、表-4は各実験の200万回疲労強度の推定値を示す。

次に、移動線返し実験における一回の走行が中央点に固定した載荷実験において何回に相当するかをマイナーリー則を利用して換算する。すなわち、換算値を α とすれば、

$$\alpha = \sum_{i=1}^r \frac{n_i}{N_i}$$

r は載荷点の数、 N_i は i 点に載荷した場合の中央点の疲労寿命、 n_i は i 点での載荷回数、版の疲労耐力は先行曲げ破壊に支配されると仮定、中央点の曲げモーメントを

$$M_i = M_0 f(x_i, y_i)$$

M_0 は中央点載荷時の曲げモーメント、 $f(x_i, y_i)$ は標準化した影響面、と表す。図-5の R

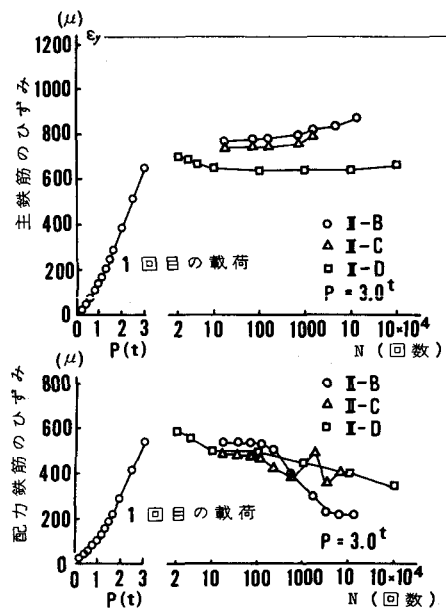


図-3 鉄筋ひずみの実測例

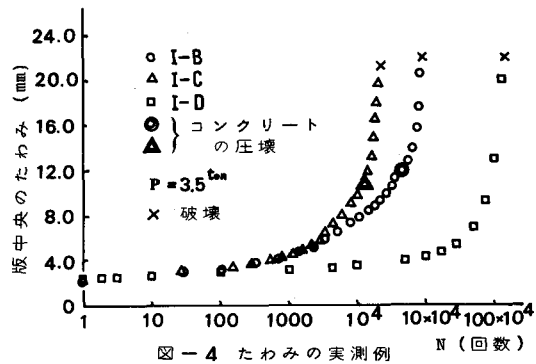


図-4 たわみの実測例

$-\log N$ 関係はほぼ直線であると見なせるので、

$$\alpha = \sum_{k=1}^5 10^{-M_k} [1 - f(x_k, y_k)] / K$$

ここに、 K は $R - \log N$ 直線の勾配を表し、 $\beta = M_0 / K$ で、中央点載荷時の曲げモーメントと荷重レベルの比である。

さて、本実験 B における一走行は 7 点であるから、 $\alpha = 7$ として、薄板弾性理論を用いて、 $f(x_k, y_k)$ 及び β を求め、図-5 より、 K を $0.56 \sim 0.58$ に採れば、上式の α はほぼ 1.0001 となり、中央点以外の載荷による影響は殆んどないという結果になる。従って、マイナーフレアを用いて換算した一点繰返し載荷回数は図-5 及び図-6 の総回数の $1/7$ となり、その代わり図に示されたに破壊時の荷重レベルは 7 個の同一供試体の最小値を与えていよいよになる。

8) 結論

一定の荷重レベルの下での移動繰返し及び一点繰返し載荷実験においては疲労強度にかなり明確な相異が確認され、特に配筋量の影響は、移動繰返し載荷の方が顕著に現われた。また、200万回疲労強度推定値から分かるように、一点繰返し載荷では荷重レベルが 50% 以下では破壊しなかつたが、移動繰返し載荷では十分破壊するところが分った。後輪荷重がスラブを 1 回通過する時の疲劳に対する影響は、一点繰返し載荷回数の約 200 回に相当した。結局、一点繰返し載荷回数 200 万回で破壊するスリップに対するには、移動繰返し載荷では後輪荷重が 1 ワン程度通過すれば破壊に至ることになり、配筋量を減じた場合にはそれを下回ることが推測された。

以上の事から、今後のスリップの疲劳の問題に当つては、本実験のような実際の交通後輪荷重をシミュレートした移動繰返し載荷による影響を考えられることを望む。

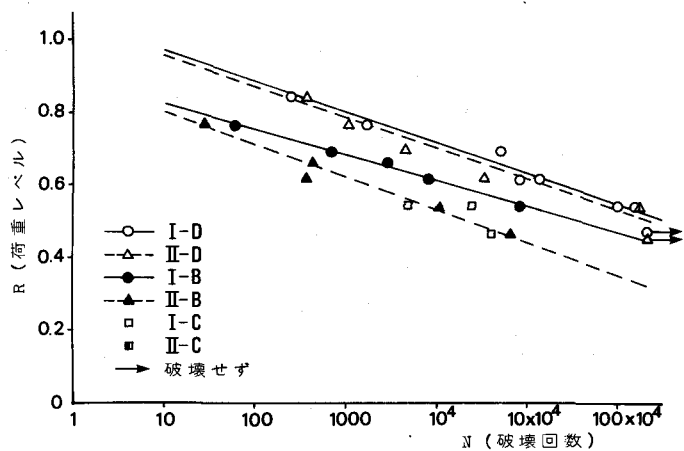


図-5 R-N 曲線

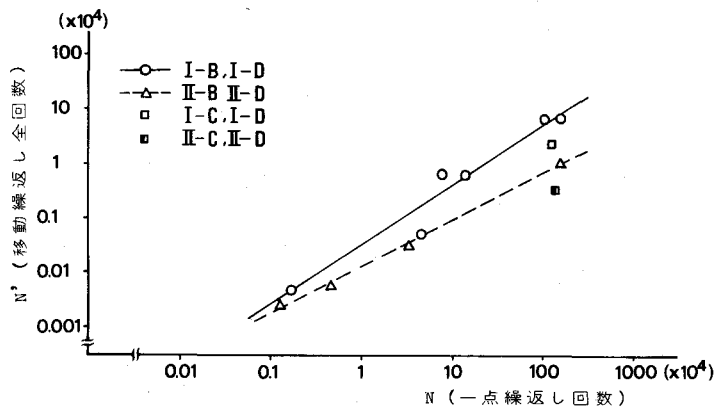


図-6 N'-N 曲線

表-4 200万回疲労強度の推定値

種別	荷重レベル
I-D	0.53
II-D	0.51
I-B	0.46
II-B	0.37
I-C	0.42
II-C	0.34